

ارزیابی محاسباتی شکست ستون کوتاه در هنگام زلزله

محمد رضا تابش پور، دانشجوی دکتری / علی بخشی، استادیار دانشکده مهندسی عمران، دانشگاه صنعتی شریف

۱- چکیده

کاربردی و مهم می‌باشد. طراحی قابهای مرکب، نسبتاً پیچیده می‌باشد. اگرچه وجود میانقاب باعث افزایش سختی کل سازه می‌شود، اما این اثر همواره جنبه مثبت ندارد. این تغییر در سختی سازه باعث تغییرات قابل ملاحظه‌ای در رفتار آن می‌شود. یک حالت نامناسب، وجود دیوارهای کوتاهی است که تا قسمتی از ارتفاع طبقه ادامه یافته‌اند. در این صورت، قسمتی از ستون که مجاور دیوار است، تقریباً به طور یکپارچه با دیوار عمل نموده، ارتفاع ستون کاهش و سختی آن بسیار افزایش می‌یابد. به تابع این افزایش سختی، ستون متحمل نیروهای شدیدتری می‌شود. تجربه نشان داده است که یکی از دلایل مهم خرابی سازه‌های دارای میانقاب، پدیده ستون کوتاه می‌باشد. با توجه به ابعاد سطح مقطع ستون و بر حسب ارتفاع بخش ستون کوتاه، مکانیزم‌های گوناگونی برای شکست آن، ممکن می‌باشد. اگر ارتفاع ستون کوتاه، بسیار کم باشد (قابل مقایسه با ابعاد مقطع ستون)، شکست بر شی رخ خواهد داد که به ترکهای قطری و یا خردش‌گی شدید بتن منجر می‌گردد (تصویر ۱)؛ اما، در صورتی که ستون، باریک باشد و یا ارتفاع دیوار زیاد نباشد، شکست ایجاد شده در ستون به صورت خمی خواهد بود (تصویر ۲). خردش‌گی بتن بر اثر نیروهای شدید بر شی در حضور نیروی فشاری

در ساختمانها قابهای باربر توسط دیوارهایی با مصالح بنایی پرمی شوند. این امر باعث افزایش سختی قاب شده و اگر توزیع سختی به صورت متقارن باشد، به بهبود رفتار سازه منجر می‌گردد؛ اما در عین حال در برخی از دهانه‌ها بویژه در قسمتهای بیرونی ساختمان، به علت وجود بازشوها، دیوارهای کوتاه اجرا می‌شوند. این مسئله باعث کوتاه شدن طول مؤثر ستون و افزایش سختی آن می‌گردد. در نتیجه در ستون کوتاه تنیش‌های بزرگی ایجاد و به خرابی آن منجر می‌گردد. در مقاله حاضر تأثیر وجود میانقاب کامل و پدیده ستون کوتاه به صورت عددی مورد بررسی قرار گرفته است. **کلید واژه‌ها:** میانقاب آجری، ستون کوتاه، تحلیل خرابی، شاخص خرابی

۲- مقدمه

برای جدا کردن فضای ساختمان و بیرون آن، از دیوارهای با مصالح بنایی استفاده می‌شود که در داخل قاب قرار- می‌گیرند. یکی از مسائل مهم در مهندسی زلزله، بررسی تأثیر میانقابهای آجری بر رفتار لرزه‌ای سازه می‌باشد. به علت استفاده زیاد از میانقابها در ساختمانهای متدال، مطالعه اثر میانقاب بر رفتار سازه در هنگام زلزله یک موضوع

زیاد در تصویر (۳) نشان داده شده است، نیروی فشاری به همراه نیروی برخی باعث بیرون زدگی میلگردهای طولی شده است.



تصویر (۳): خردشگی بتن و ترکهای قطری



تصویر (۱): شکست برخی (قطری) ستون کوتاه



تصویر (۴): نمایی از ساختمان قبل از زلزله

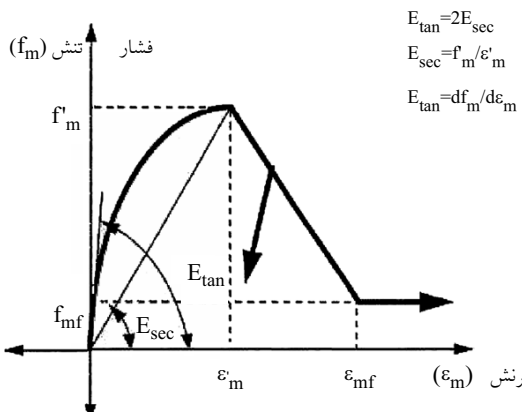


تصویر (۲): شکست خمی ستون کوتاه

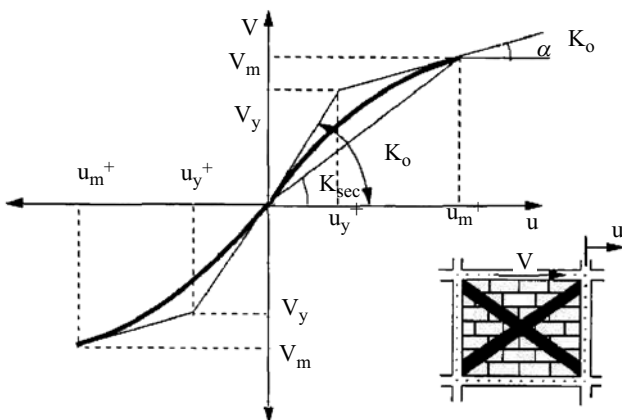


تصویر (۵): تخریب کامل طبقه اول در هنگام زلزله به علت پدیده ستون کوتاه در نظر گرفتن عضو قطری معادل می باشد. ایده میله معادل به جای میانقاب آجری برای اولین بار در سال ۱۹۶۷ توسط پولیاکف مطرح شد [۱]. پس از وی هولمز [۲ و ۳]، استافورد اسمیت [۴، ۵ و ۶] و مینیستون [۷ و ۸] روش هایی برای ارائه خصوصیات میله معادل میانقاب پیشنهاد دادند. در سال ۱۹۷۶ کلینگر و برترو [۹] بر اساس نتایج آزمایشگاهی دریافتند که

در تصویرهای (۴) و (۵) نمای یک ساختمان قبل و بعد از زلزله نشان داده شده است. ملاحظه می شود طبقه اول که ستونهای کوتاه داشته، به طور کامل تخریب شده است. در سازه موردن بررسی تأثیر ارتفاع دیوار بر خرابی سازه به طور کمی ارائه شده است. روش متداول برای مدلسازی میانقاب

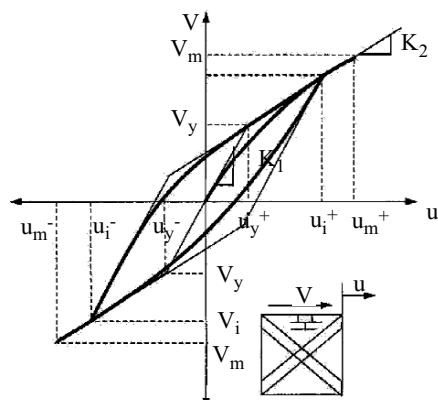


شکل(۱): رابطه تنش-کرنش برای مصالح آجری [۱۴]



شکل(۲): پوش مقاومت برای پائل آجری [۱۴]

رابطه نیرو- تغییر مکان چرخه ای برای سیستم میله های فشاری در شکل (۳) نشان داده شده است. فرمول بندی تحلیلی پوش مربوطه بر اساس تحقیق انجام شده، در مرجع [۱۶] ارائه گردیده است.



شکل(۳): مدل ون-بوک برای پاسخ چرخه ای پائل آجری [۱۴]

روش مینستون دارای دقیقیت بیشتری می باشد. محققین متعددی نیز بر روی مدل سازی میان قاب با استفاده از اجزای محدود فعالیت نموده اند [۱۰، ۱۱، ۱۲ و ۱۳]. از مدل سازی اجزای محدود غیر خطی معمولاً برای استخراج خصوصیات مربوط به میله معادل برای مدل سازی ارجاعی میان قاب بر اساس یک جایه جایی هدف استفاده می شود.

در این مقاله یک ساختمان یک طبقه و یک دهانه مورد بررسی قرار گرفته است. به منظور تحلیل خرابی از نرم افزار IDARC استفاده شده است. در این نرم افزار میان قاب را می توان با دقیقیت مطلوبی با میله معادل مدل سازی نمود. یک روش مناسب برای بررسی اثرهای میان قاب بر سازه ها در هنگام زلزله، انجام تحلیل خرابی سازه می باشد. در این روش با تعریف شاخص خرابی، نسبت به تعیین آن تحت زلزله های گوناگون و توزیع آن در قسمتهای گوناگون سازه اقدام می شود. با توجه به آنکه شاخص خرابی پارک-انگ به صورت گسترده ای در کارهای تحقیقاتی استفاده شده است، در این تحقیق نیز از این شاخص خرابی استفاده شده است [۱۴ و ۱۵].

۳- دیوارهای پرکننده آجری

معادله تنش- کرنش مصالح بنایی در فشار، معمولاً به صورت تابع سهمی تانتش بیشینه (f'_m) در نظر گرفته می شود (شکل ۱)، سپس با افزایش کرنش، مقدار تنش به صورت خطی کاهش می یابد و بعد از آن ثابت می ماند.

یک روش بسیار مناسب برای مدل سازی میان قاب آجری استفاده از میله معادل می باشد. مدل فرضی برای میله های معادل مصالح بنایی در شکل (۲) نشان داده شده است. فرض بر آن است که این میله ها فقط در فشار عمل می نمایند.

$$f_a = f_c \left[1 - \left(\frac{1}{40t} \right)^{\text{eff}} \right] \quad f_c = 0.6 \ddot{\sigma}_m \quad \ddot{\sigma} = 0.65 \quad (5)$$

تنشی‌های حد بالا یا تنشی‌های تتماسی یکنواخت نرمال به هنگام شکست در محل تماس ستون با میانقاب ($\sigma_c^{(0)}$) و تیر با میانقاب ($\sigma_b^{(0)}$), با توجه به معیار تسلیم شش وجهی ترسکا

به دست می‌آید [۱۴]:

$$\dot{\sigma}_{c0} = \frac{f_c}{\sqrt{1 + 3i_f^2 r^4}} \quad \dot{\sigma}_{b0} = \frac{f_c}{\sqrt{1 + 3i_f^2}} \quad (6)$$

در رابطه (۶)، $r = h/l$ نسبت ارتفاع میانقاب به طول آن و $i_f = h/l$ ضریب اصطکاک سطح پانل با قاب می‌باشد. طول تماس بین ستون با پانل ($\alpha_c h$) و تیر با پانل ($\alpha_b h$) از روابط (۷) و (۸) به دست می‌آید:

$$\alpha_c h = \sqrt{\frac{2M_{pj} + 2\hat{a}_0 M_{pc}}{\dot{\sigma}_{c0} t}} \leq 0.4h' \quad (7)$$

$$\alpha_b h = \sqrt{\frac{2M_{pj} + 2\hat{a}_0 M_{pb}}{\dot{\sigma}_{b0} t}} \leq 0.4l' \quad (8)$$

در روابط مذکور، $\beta_0 = 0.2$ می‌باشد.

منحنی نیرو-تغییر مکان یک جهته به طور کامل با نیروی بیشینه (V_m)، جایی مربوطه (u_m)، سختی اولیه (K_0) و نسبت سختی فراتسلیم به سختی اولیه (α) تعریف می‌شود. سختی اولیه (K_0) را می‌توان با استفاده از روابطه (۹) تخمین زد:

$$K_0 = \frac{V_y}{u_y} \quad (9)$$

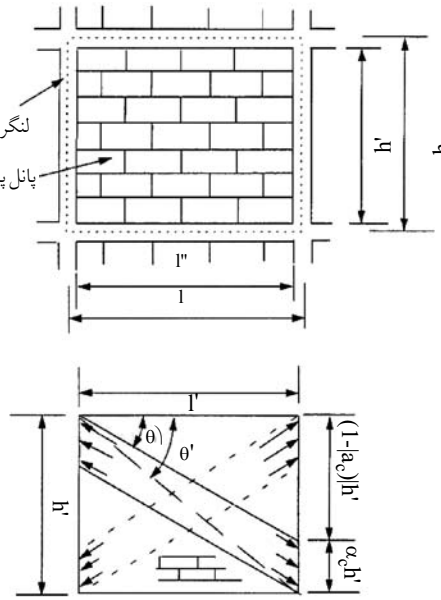
نیروی جانبی تسلیم و تغییر مکان متناظر آن در میانقاب از روابط (۱۰) و (۱۱) به دست می‌آیند:

$$V_y = \frac{V_m - \alpha K_0 u_m}{1 - \alpha} \quad (10)$$

$$u_y = \frac{V_m - \alpha K_0 u_m}{K_0 (1 - \alpha)} \quad (11)$$

مقدار $1/\alpha$ ضریب α پیشنهاد می‌شود [۱۴].

با در نظر گرفتن قاب میان پر در شکل (۴) نیروی جانبی بیشینه (V_m) و جایه‌جایی مربوطه (u_m) مطابق روابط (۱) و (۲) می‌باشد [۱۶]:



شکل (۴): پانل آجری و میله فشاری معادل [۱۴]

$$V_m \leq A_d f'_m \cos \theta \leq \frac{v t l'}{(1 - 0.45 \tan \theta') \cos \theta} \leq \frac{0.83 (\text{MPa}) t l'}{\cos \theta} \quad (1)$$

$$u_m = \frac{\dot{a}'_m L_d}{\cos \theta} \quad (2)$$

در روابط مذکور، A_d سطح مقطع، f'_m مقاومت منشور مصالح بنایی، V مقاومت بر شسی پایه یا چسبندگی مصالح بنایی، t ضخامت پانل میانقاب، c_h کرنش مربوطه و L_d طول معادل میله قطری معادل می‌باشد. سطح مقطع و طول معادل میله قطری معادل برابر است با:

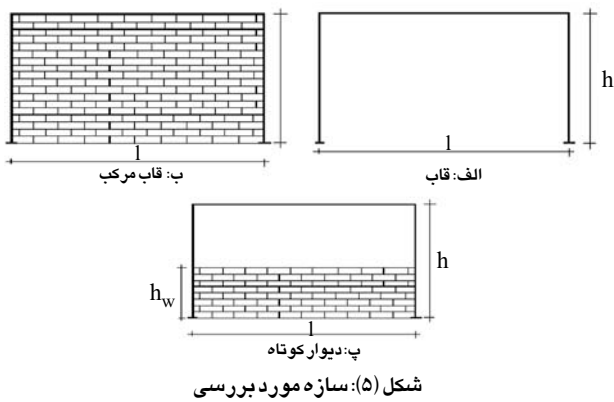
$$A_d = (1 - \alpha_c) \dot{a}_c t h' \frac{\dot{\sigma}_c}{f_c} + \alpha_b t l' \frac{\dot{\sigma}_b}{f_c} \leq \frac{0.5 t h' \frac{f_a}{f_c}}{\cos \theta} \quad (3)$$

$$L_d = \sqrt{(1 - \alpha_c)^2 h'^2 + l'^2} \quad (4)$$

کمیتهای α_c , α_b , $\dot{\sigma}_c$, $\dot{\sigma}_b$, f_a و f_c به هندسه و خواص مواد قاب و میانقاب بستگی دارند. تنش مجاز (f_a) برای میله از رابطه (۵) به دست می‌آید:

۴- مدل چرخه‌ای هموار

یک ساختمان یک طبقه و یک دهانه مطابق شکل (۵) مورد تحلیل دینامیکی غیرخطی قرار گرفت. ارتفاع سازه موردنظر سه متر و طول دهانه برابر پنج متر می‌باشد. این سازه برای بارهای ثقلی طراحی شده است. در ادامه، تأثیر وجود میانقاب و پدیده ستون کوتاه مورد بررسی قرار گرفته است. نگاشت مورد استفاده، مربوط به زلزله طبس با شتاب بیشینه ۰.۳۵g می‌باشد.



شکل (۵): سازه مورد بررسی

در شکل (۶) تاریخچه زمانی جابه‌جایی برای قاب، قاب مرکب و حالتی که ارتفاع دیوار نصف ارتفاع طبقه باشد، داده شده است. ملاحظه می‌شود که رفتار سازه در حالت وجود میانقاب کامل، با دو حالت دیگر به طور واضح متفاوت است. به منظور مطالعه کمی خرابی ناشی از پدیده ستون کوتاه، تحلیل خرابی انجام و نتایج آن در شکل (۷) آورده شده است. اگرچه جابه‌جایی طبقه برای هر دو حالت قاب بدون دیوار و قاب با دیوار کوتاه، تقریباً یکسان می‌باشد، اما باید توجه نمود که مقدار تغییر مکان نسبی در حالت اول (ستون سه متری) نصف حالت دوم (ستون ۱/۵ متری) می‌باشد. در نتیجه،

برای مدلسازی رفتار چرخه‌ای میانقاب باید از مدل چرخه‌ای هموار استفاده نمود [۱۴]. این مدل شامل اثرهای کاهندگی سختی، زوال مقاومت و لقی یا الغزش و بر اساس مدل ون-بوک است [۱۷ و ۱۸]. رابطه نیرو-تغییر مکان برای مدل چرخه‌ای هموار به صورت رابطه (۱۲) می‌باشد (شکل ۱):

$$V_i = V_y [\alpha_{i-1} + (1 - \alpha_i) Z_i] \quad (12)$$

در رابطه (۱۲)، V_y نیروی لحظه‌ای، Z_i نیروی تسلیم و α_i جابه‌جایی همسان شده می‌باشد:

$$\alpha_i = \frac{U_i}{U_y} \quad (13)$$

زیرنویس α مقادیر لحظه‌ای، U_i جابه‌جایی نظیر تسلیم، Z_i نسبت سختی فراتسلیم به سختی اولیه و U_y مؤلفه چرخه‌ای می‌باشد. به منظور بیان کمی میزان خرابی، از یک شاخص خرابی مناسب برای میانقاب استفاده شده است. معادله (۱۴) می‌بین رابطه ضریب کاهش (S_β) با شاخص خرابی است:

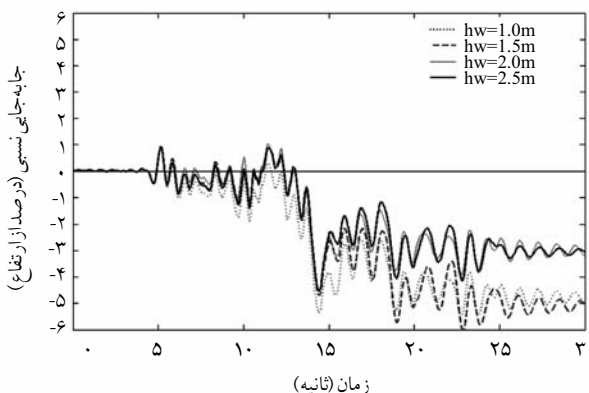
$$S_\beta = 1 - DI \quad (14)$$

شاخص خرابی مورد استفاده، شاخصی بر پایه خستگی و تابعی از شکل پذیری حاصله و انرژی تلف شده چرخه‌ای می‌باشد [۱۴]:

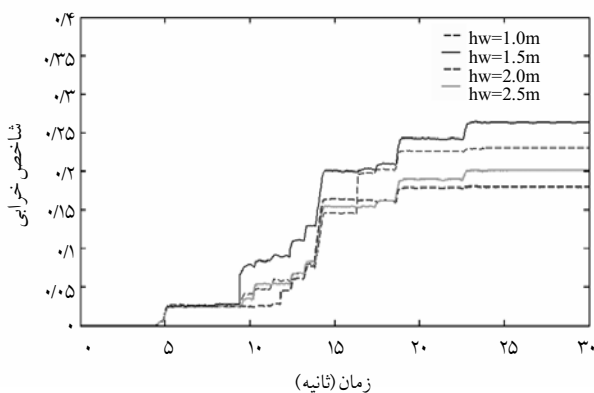
$$DI = \frac{i_{\max}^p - 1}{i_c - 1} \frac{1}{(1 - 0.25s_{p1}) \left(\frac{V}{V_y} \right) \left(\frac{di}{(i_c - 1)} \right)^{sp_2}} \quad (15)$$

در رابطه (۱۵)، i_{\max}^p بیشینه شکل پذیری حاصله در تاریخچه پاسخ، s_{p1} اظرفیت شکل پذیری تیغه میانقاب و s_{p2} پارامترهای کنترل کننده میزان زوال مقاومت می‌باشد.

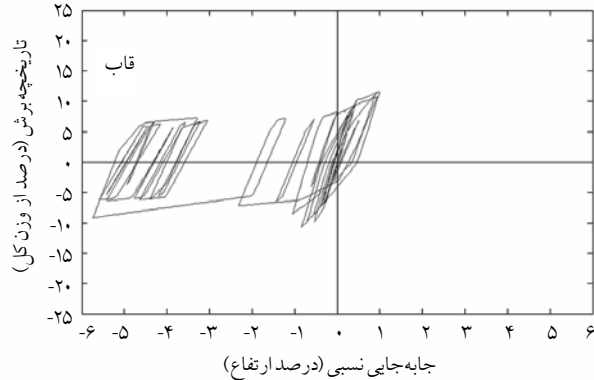
دوره رفت و برگشت، تغییر شکل بزرگ و ماندگار در سازه رخداده و پس از آن حول نقطه‌ای جدید چند رفت و برگشت دیگر انجام شده است.



شکل (۸): تاریخچه جابه‌جایی نسبی طبقه برای ارتفاعهای مختلف دیوار



شکل (۹): تاریخچه شاخص خرابی طبقه برای ارتفاعهای مختلف دیوار

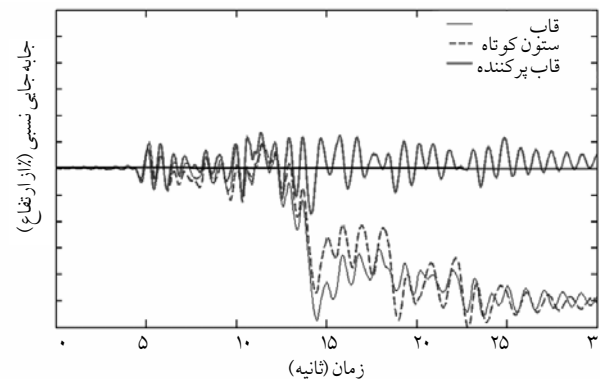


شکل (۱۰): رفتار چرخه‌ای قاب (بدون وجود میانقاب)

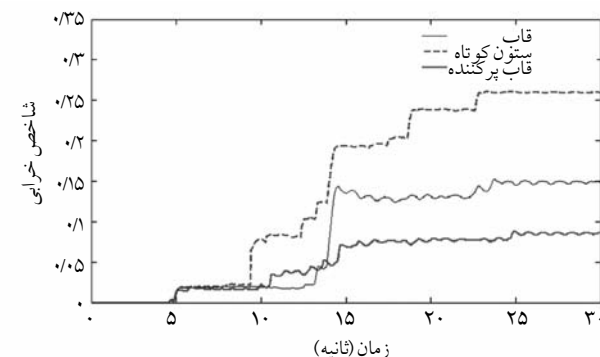
برای حالت دیوار کوتاه نیز رفتار مشابهی دیده می‌شود (شکل ۱۱)، مقایسه این دو شکل می‌بین آن است که در حالت

انتظار می‌رود که در این سازه میزان خرابی در حالت وجود دیوار کوتاه، بیشتر باشد. علاوه بر آن، ملاحظه می‌شود خرابی سازه‌ای در حالت میانقاب کامل، کمتر از دو حالت دیگر می‌باشد که نشان دهنده اهمیت پدیده ستون کوتاه در خرابی سازه‌های دارای قاب مرکب است.

پاسخ دینامیکی و شاخص خرابی برای ارتفاعهای



شکل (۶): تاریخچه جابه‌جایی طبقه برای سه حالت قاب، قاب مرکب و دیوار کوتاه



شکل (۷): تاریخچه شاخص خرابی طبقه برای سه حالت قاب، قاب مرکب و دیوار کوتاه

گوناگون دیوار در شکل‌های (۸) و (۹) نشان داده شده است. با مقایسه نتایج شکل‌های مذکور مشاهده می‌شود که در تمام حالات، رفتار سازه در مقایسه با قاب تنها و قاب مرکب نامطلوب‌تر شده است.

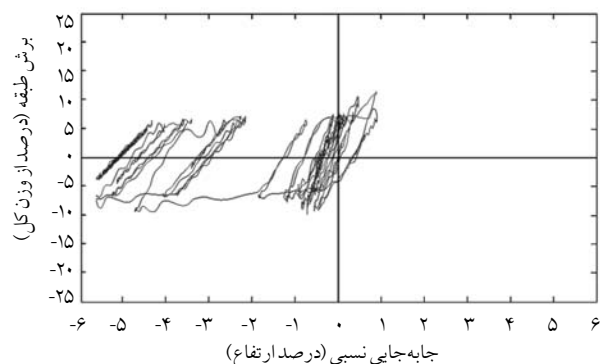
در شکل (۱۰) منحنی رفتار چرخه‌ای قاب (بدون وجود میانقاب) ترسیم شده است. مشاهده می‌شود پس از طی چند

کامل باعث بهبود رفتار لرزه‌ای سازه شده است. اگرچه این مطلب همواره صادق نیست، اما در اغلب موارد وجود میانقاب، رفتار ساختمان را در مقابل زلزله بهبود می‌بخشد. نتایج حاصل از تحلیلهای دینامیکی غیرخطی و نیز تحلیل خرابی نشان می‌دهد که وجود دیوار کوتاه بین دو ستون باعث شکست شدید و زودهنگام سازه می‌گردد.

۸- مراجع

- 1.Polyakov, S. V. (1960). *On the Interaction between masonry filler walls and enclosing frame when loaded in the plane of the Wall* (Translations in Earthquake Engineering). Earthquake Engineering Research Institute. Oakland : California.
- 2.Holmes, M. (1961). Steel frames with brickwork and concrete infilling. *Proceedings of institution of civil engineers*, 19, 473 - 478. London.
- 3.Holmes, M. (1963). Combined loading on infilled frames. *Pr oceedings of institution of civil eng – ineers*, 25, 31 - 38. London.
- 4.Stafford Smith, B. (1962). Lateral stiffness of infilled frames. *Journal of the Structural Eng – ineering Division*, 183 - 199.
- 5.Stafford Smith, B. (1966). Behavior of square infilled frames. *Journal of the Structural Eng. Division*, 381 - 403.
- 6.Stafford Smith, B.(1968). Model test results of vertical and horizontal loading of infilled frames. *ACI Structural Jorunal*, 618 - 624.
- 7.Mainstone, R. J. (1971). On the stiffnesses and strengths of infilled frames. *Current paper CP 2/72*, Building Research Station, Garston, United Kingdom, reprinted form *Proceedings of Institution of Civil Engineers*, 1971 Supplement (iv), paper 7360 S, 57 - 90.

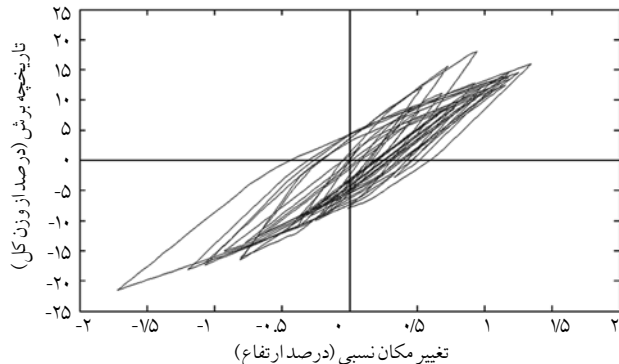
وجود دیوار کوتاه مقدار تغییرشکل، اندکی بیشتر شده است.



شکل (۱۱): رفتار چرخه‌ای قاب در حالت دیوار کوتاه

در شکل (۱۲) منحنی رفتار چرخه‌ای قاب مرکب ترسیم شده است. ملاحظه می‌شود که رفتار چرخه‌ای به صورت هموار می‌باشد.

مقایسه شکل (۱۲) با شکل‌های (۱۰) و (۱۱) میان کاهش قابل ملاحظه تغییر شکل نسبی و افزایش زیاد مقدار برش طبقه می‌باشد. علاوه بر آن، رفتار سازه در حالت دیوار کوتاه و میانقاب کامل با یکدیگر تفاوت زیادی پیدا کرده است.



شکل (۱۲): رفتار چرخه‌ای قاب مرکب

۷- نتیجه‌گیری

در این مقاله اثر وجود میانقاب و پدیده ستون کوتاه به طور عددی بررسی شد. مثال مورد بحث یک قاب یک طبقه نسبتاً ضعیف بوده که فقط برای بارهای ثقلی طراحی شده است. با توجه به نتایج عددی حاصله می‌توان گفت وجود میانقاب

15. Park, Y - J., Ang, A.H - S. (1985). Mechanistic seismic damage model for reinforced concrete. *Journal of Structural Engineering, ASCE*, 111, No. ST, 722 - 739.
16. Saneinejad, A., Hobbs, B. (1995). Inelastic design of infilled frames. *Journal of Structural Eng.*, 121, 63 – 650.
17. Bouc, R. (1967). Forced vibration of mechanical systems with hysteresis. *Proceedings of 4th Conference on nonlinear oscillators*. Prague.
18. Baber, T. T., Noori, M. N. (1985). Random vibration of degrading pinching systems. *J. of Engineering Mechanics*, 111, No. 8, 1010 - 1026.
- ۱۹- تابش پور، محمد رضا؛ قناد، محمدعلی؛ بخشی، علی؛ گل افشاری، علی اکبر. (اردیبهشت ۱۳۸۳). اثر دیوار آجری بر رفتار لرزه‌ای قابهای بتونی. اولین کنگره ملی مهندسی عمران. تهران: دانشگاه صنعتی شریف. ►
8. Mainstone, R. J. (1974). Supplementary note on the stiffnesses and strengths of infilled frames. *Current Paper CP 13/74*, Building Research Station, Garston : United Kingdom.
9. Klingner, R. E., Bertero, V. V. (1976). *Infilled frames in Earthquake resistant construction*, [Report No. EERC 76 - 32], Earthquake Eng. Research Center, University of California at Berkeley, California.
10. Lotfi, H. R., Shing, P. B. (1994). Interface model applied to fracture of masonry structures. *Jou. of the Structural Engineering Division*, 120, No. 1.
11. Durrani, A. J., Luo, Y. H. (1994). Seismic retrofit of flat - slab buildings with masonry infills. *Proc. of NCEER workshop on seismic response of masonry infills*. [Technical report NCEER - 94 - 0004]. San Francisco : California, National Center for Earthquake Engineering Research, State Univ. of New York at Buffalo, New York. *Paper CP 13/74*, Building Research Station, Garston : United Kingdom.
12. Mehrabi, A. B., Shing, P. B. (1994). Performance of masonry - infilled R/C frames under in - plan lateral loads : analytical modeling. *Proceedings of NCEER workshop on seismic response of masonry infills*. San Francisco. California, [Technical report NCEER - 94 - 0004]. National Center for Earthquake Engineering Research, state University of New York at Buffalo : New York.
13. Gergel, P., White, R. N., Mosalam, K. M. (1994). Evaluation and modeling of infilled frames. *Proceedings of NCEER workshop on seismic response of masonry infills*. [Technical report NCEER - 94 - 0004]. San Francisco : California, National Center for Earthquake Engineering Research, State university of New York at Buffalo, New York.
14. Reinhorn, A.M., Kunnath, S.K., Valles - Mattox, R. (1996). IDARC 2D Version 4.0 : users manual. Department of civil engineering, State University of New York at Bufallo.